

# 计算流体力学期末大作业

郑恒 2200011086

2025 年 6 月 19 日

## 1 问题介绍

针对 Sod 激波管问题，需求解一维欧拉方程：

$$\frac{\partial U}{\partial t} + \frac{\partial f(U)}{\partial x} = 0$$

其中：

$$U = \begin{bmatrix} \rho \\ \rho u \\ E \end{bmatrix}, \quad f(U) = \begin{bmatrix} \rho u \\ \rho u^2 + p \\ u(E + p) \end{bmatrix}, \quad E = \rho e = \rho \left( C_v T + \frac{1}{2} u^2 \right).$$

在  $t = 0$  时刻，初始条件为：

$$\begin{cases} x < 0 \text{ 处, } (\rho_L, u_L, p_L) = (1, 0, 1) \\ x \geq 0 \text{ 处, } (\rho_R, u_R, p_R) = (0.125, 0, 0.1) \end{cases}$$

要求采用数值方法求解密度、速度、压强分布，并与精确解进行比较。Sod 问题的 Riemann 精确解可查询网络或参考书获得。具体要求如下：

1. 计算域与网格由用户设定，并进行相关讨论；
2. 激波捕捉格式：要求至少完成 TVD、群速度控制（GVC）、WENO 各一种；
3. 通量处理方法：要求至少完成 FVS（Flux Vector Splitting）和 FDS（Flux Difference Splitting）各一种；
4. 时间推进格式选用三阶 Runge-Kutta。

## 2 算法原理

### 2.1 一维 Riemann 问题精确解

根据空气动力学原理，Sod 激波管中可能出现三种波类型：

- **激波：**密度、速度、压力均发生突变，满足 Rankine-Hugoniot (R-H) 关系式
- **接触间断：**仅密度发生突变，速度与压力不变
- **膨胀波（稀疏波）：**等熵波，内部物理量连续光滑，头尾物理量连续但导数不连续（弱间断），Riemann 不变量不变

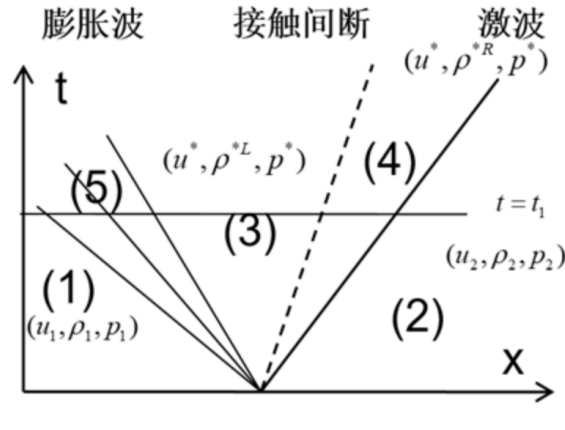


图 1: Sod 激波管问题示意图

针对 Sod 激波管实际工况（初始条件： $(\rho_L, u_L, p_L) = (1, 0, 1)$ ,  $(\rho_R, u_R, p_R) = (0.125, 0, 0.1)$ ），其流场演化属于**右激波 + 左膨胀波**组合。基于质量、动量、能量通量守恒，可建立方程组求解。

#### 2.1.1 Sod 管实际工况：右激波 + 左膨胀波

分区列写方程如下：

左膨胀波区 (1-3 区): 满足等熵关系和 Riemann 不变量守恒:

$$p^*/(\rho^{*L})^\gamma = p_1/(\rho_1)^\gamma \quad (1)$$

$$u_1 + \frac{2c_1}{\gamma-1} = u^* + \frac{2c^L}{\gamma-1} \quad (2)$$

其中  $c_1 = \sqrt{\gamma p_1/\rho_1}$  为左初始区的声速,  $c^L = \sqrt{\gamma p^*/\rho^{*L}}$  为膨胀波后的声速。

右激波区 (2-4 区): 满足激波的 Rankine-Hugoniot 条件:

$$\begin{cases} \rho_2(u_2 - Z_2) = \rho^{*R}(u^* - Z_2) \\ \rho_2 u_2(u_2 - Z_2) + p_2 = \rho^{*R} u^*(u^* - Z_2) + p^* \\ E_2(u_2 - Z_2) + u_2 p_2 = E^{*R}(u^* - Z_2) + p^* u^* \end{cases} \quad (3)$$

其中总能  $E_k = p_k/(\gamma-1) + \rho_k u_k^2/2$ 。

激波和膨胀波引起的速度-压力变化可统一表示为:

$$\text{左膨胀波: } u^* = u_1 - f(p^*, p_1, \rho_1) \quad (4)$$

$$\text{右激波: } u^* = u_2 + f(p^*, p_2, \rho_2) \quad (5)$$

其中  $f$  函数定义为分段形式:

$$f(p^*, p_i, \rho_i) = \begin{cases} \frac{p^* - p_i}{\rho_i c_i \left[ \frac{\gamma+1}{2\gamma} \left( \frac{p^*}{p_i} \right) + \frac{\gamma-1}{2\gamma} \right]^{1/2}}, & p^* > p_i \quad (\text{激波情况}) \\ \frac{2c_i}{\gamma-1} \left[ \left( \frac{p^*}{p_i} \right)^{\frac{\gamma-1}{2\gamma}} - 1 \right], & p^* < p_i \quad (\text{膨胀波情况}) \end{cases} \quad (6)$$

联立方程 (4) 和 (5), 得到关于  $p^*$  的非线性方程:

$$u_1 - u_2 = f(p^*, p_1, \rho_1) + f(p^*, p_2, \rho_2) \quad (7)$$

此方程可通过 Newton 迭代法求解  $p^*$ , 进而计算  $u^*$  和各区密度。

### 2.1.2 膨胀波内部物理量计算

膨胀波范围由波头速度  $u_1 - c_1$  和波尾速度  $u^* - c^{*L}$  确定 ( $c^{*L} = \sqrt{\gamma p^*/\rho^{*L}}$ )。波区内物理量由自相似解给出：

$$c(t, x) = \frac{\gamma - 1}{\gamma + 1} \left( u_1 - \frac{x}{t} \right) + \frac{2}{\gamma + 1} c_1 \quad (8)$$

$$u(x, t) = c + \frac{x}{t} \quad (9)$$

$$p(x, t) = p_1 \left( \frac{c}{c_1} \right)^{2\gamma/(\gamma-1)} \quad (10)$$

$$\rho(x, t) = \gamma p / c^2 \quad (11)$$

此解仅适用于  $u_1 - c_1 \leq x/t \leq u^* - c^{*L}$  区域。

综上所述，一维 Riemann 问题的精确解的求解思路与方程介绍完毕。本文 Sod 激波管参考精确解程序来自于 github 开源项目, 地址为

<https://github.com/sbakkerm/Sod-Shock-Tube/tree/main>。

## 2.2 时间推进格式

时间推进采用三阶 Runge-Kutta 方法，整个离散格式为：

$$\frac{\partial U}{\partial t} = -\frac{\partial \mathbf{F}}{\partial x} \quad (12)$$

$$U^{(1)} = U^n - \Delta t \cdot \frac{\partial \mathbf{F}}{\partial x}(U^n) \quad (13)$$

$$U^{(2)} = U^n - \frac{\Delta t}{2} \cdot \frac{\partial \mathbf{F}}{\partial x}(U^{(1)}) \quad (14)$$

$$U^{(3)} = U^n - \frac{\Delta t}{2} \cdot \frac{\partial \mathbf{F}}{\partial x}(U^{(2)}) \quad (15)$$

$$U^{n+1} = U^n - \frac{\Delta t}{6} \left( \frac{\partial \mathbf{F}}{\partial x}(U^{(1)}) + 2 \frac{\partial \mathbf{F}}{\partial x}(U^{(2)}) + 2 \frac{\partial \mathbf{F}}{\partial x}(U^{(3)}) \right) \quad (16)$$

其中  $\mathbf{F}$  是通量函数， $\Delta t$  是时间步长。

其中守恒向量  $U$  和通量函数  $\mathbf{F}$  为：

$$U = \begin{bmatrix} \rho \\ \rho u \\ E \end{bmatrix}, \quad \mathbf{F} = \begin{bmatrix} \rho u \\ \rho u^2 + p \\ u(E + p) \end{bmatrix}$$

## 2.3 流通矢量分裂技术 (FVS)

目前，数值求解守恒型一维 Euler 方程的主要技术包括流通矢量分裂 (Flux Vector Splitting, FVS) 与流通差分分裂 (Flux Difference Splitting, FDS) 两类。

流通矢量分裂方法基于特征线方法，将方程的解表示为特征向量的组合。该方法将代表质量、动量和能量的流通矢量按照雅可比矩阵的特征值进行分裂，并据此构造迎风格式或激波捕捉格式。

流通差分分裂方法则是对流通矢量的导数进行分裂：首先运用差分格式构造网格半点处的守恒变量，再利用各类近似 Riemann 解构造通量。

### 2.3.1 基本变量与方程

守恒变量  $\mathbf{U}$  与流通矢量  $\mathbf{F}(\mathbf{U})$  定义为：

$$\mathbf{U} = \begin{bmatrix} \rho \\ \rho u \\ E \end{bmatrix} = \begin{bmatrix} w_1 \\ w_2 \\ w_3 \end{bmatrix}, \quad \mathbf{F}(\mathbf{U}) = \begin{bmatrix} \rho u \\ \rho u^2 + p \\ u(E + p) \end{bmatrix} = \begin{bmatrix} w_2 \\ \frac{w_2^2}{w_1} + p \\ \frac{w_2}{w_1}(w_3 + p) \end{bmatrix}$$

总能量  $E$  满足：

$$E = \rho e = \rho \left( c_v T + \frac{1}{2} u^2 \right)$$

考虑完全气体状态方程  $p = \rho R T$ ，压力可表示为：

$$p = (\gamma - 1) \left( E - \frac{1}{2} \rho u^2 \right) = (\gamma - 1) \left( w_3 - \frac{1}{2} \frac{w_2^2}{w_1} \right)$$

流通矢量可简化为：

$$\mathbf{F}(\mathbf{U}) = \begin{bmatrix} w_2 \\ \frac{3 - \gamma}{2} \frac{w_2^2}{w_1} + (\gamma - 1) w_3 \\ \frac{\gamma w_2 w_3}{w_1} - \frac{\gamma - 1}{2} \frac{w_2^3}{w_1^2} \end{bmatrix}$$

### 2.3.2 Jacobian 矩阵与特征值

守恒变量的微分关系：

$$\begin{cases} dw_1 = d\rho \\ dw_2 = u d\rho + \rho du \\ dw_3 = \frac{dp}{\gamma - 1} + \frac{1}{2} u^2 d\rho + \rho u du \end{cases}$$

Jacobian 矩阵  $\mathbf{A}(\mathbf{U}) = \partial \mathbf{F} / \partial \mathbf{U}$ ：

$$\mathbf{A}(\mathbf{U}) = \begin{bmatrix} 0 & 1 & 0 \\ \frac{\gamma - 3}{2} \frac{w_2^2}{w_1^2} & (3 - \gamma) \frac{w_2}{w_1} & \gamma - 1 \\ -\frac{\gamma w_2 w_3}{w_1^2} + (\gamma - 1) \frac{w_2^3}{w_1^3} & \frac{\gamma w_3}{w_1} - \frac{3(\gamma - 1)}{2} \frac{w_2^2}{w_1^2} & \frac{\gamma w_2}{w_1} \end{bmatrix}$$

声速  $c$  满足：

$$c^2 = \frac{\gamma p}{\rho} = \gamma(\gamma - 1) \left( \frac{w_3}{w_1} - \frac{1}{2} \frac{w_2^2}{w_1^2} \right)$$

Jacobian 矩阵的特征值为：

$$\lambda_1 = u - c, \quad \lambda_2 = u, \quad \lambda_3 = u + c$$

当状态方程  $p = \rho g(e)$  时，流通矢量满足一次齐次性：

$$\mathbf{F}(\alpha \mathbf{U}) = \alpha \mathbf{F}(\mathbf{U}) \quad \forall \alpha$$

对  $\alpha$  求导并令  $\alpha = 1$  得：

$$\mathbf{F}(\mathbf{U}) = \mathbf{A} \mathbf{U}$$

### 2.3.3 分裂方法原理

在构造耗散型格式时，需要将流通矢量  $\mathbf{F}(\mathbf{U})$  按照特征值进行分裂。

对单波方程流通量的分裂为：

$$f^\pm = c^\pm u, \quad c^\pm = \frac{c \pm |c|}{2}, \quad f = f^+ + f^-$$

对流通矢量，通过 Jacobian 矩阵特征值分裂：

$$\lambda_k = \lambda_k^+ + \lambda_k^-, \quad \lambda_k^+ \geq 0, \quad \lambda_k^- \leq 0$$

分裂后的特征值对角矩阵：

$$\Lambda^\pm = \begin{bmatrix} \lambda_1^\pm & 0 & 0 \\ 0 & \lambda_2^\pm & 0 \\ 0 & 0 & \lambda_3^\pm \end{bmatrix}$$

定义分裂：

$$\mathbf{A}^\pm = S^{-1} \Lambda^\pm S, \quad \mathbf{F}^\pm = \mathbf{A}^\pm \mathbf{U}$$

满足  $\mathbf{A} = \mathbf{A}^+ + \mathbf{A}^-$ ,  $\mathbf{F} = \mathbf{F}^+ + \mathbf{F}^-$ 。

**Steger-Warming (S-W) 分裂法：**

$$\lambda_k^\pm = \frac{\lambda_k \pm |\lambda_k|}{2}$$

为避免奇点可修正为：

$$\lambda_k^\pm = \frac{\lambda_k \pm \sqrt{\lambda_k^2 + \varepsilon^2}}{2}$$

**Lax-Friedrichs (L-F) 分裂法：**

$$\lambda_k^\pm = \frac{\lambda_k \pm \lambda^*}{2}$$

$$\mathbf{F}^+ = \frac{1}{2} (\mathbf{F} + \lambda^* \mathbf{U}), \quad \mathbf{F}^- = \frac{1}{2} (\mathbf{F} - \lambda^* \mathbf{U})$$

其中  $\lambda^*$  可取局部值  $|u| + c$  或全局  $\max(|u| + c)$ 。

**van Leer 分裂法：** 基于马赫数  $\text{Ma} = u/c$  的分裂：

$$\mathbf{F} = \begin{bmatrix} \rho c \text{Ma} \\ \rho c^2 \left( \text{Ma}^2 + \frac{1}{\gamma} \right) \\ \rho c^3 \text{Ma} \left( \frac{1}{2} \text{Ma}^2 + \frac{1}{\gamma - 1} \right) \end{bmatrix} \equiv \begin{bmatrix} f_{\text{mas}} \\ f_{\text{mom}} \\ f_{\text{ene}} \end{bmatrix}$$

分裂策略：

1.  $\text{Ma} \geq 1$ :  $\mathbf{F}^+ = \mathbf{F}$ ,  $\mathbf{F}^- = 0$
2.  $\text{Ma} \leq -1$ :  $\mathbf{F}^+ = 0$ ,  $\mathbf{F}^- = \mathbf{F}$
3.  $|\text{Ma}| \leq 1$ : 按马赫数分裂

分量分裂:

$$\begin{aligned}
 f_{\text{mas}}^{\pm} &= \pm \frac{1}{4} \rho c (1 \pm \text{Ma})^2 \\
 f_{\text{mom}}^{\pm} &= f_{\text{mas}}^{\pm} \frac{2c}{\gamma} \left[ \frac{(\gamma - 1)}{2} \text{Ma} \pm 1 \right] \\
 f_{\text{ene}}^{\pm} &= \frac{\gamma^2}{2(\gamma^2 - 1)} \frac{(f_{\text{mom}}^{\pm})^2}{f_{\text{mas}}^{\pm}}
 \end{aligned}$$

统一矢量形式:

$$\mathbf{F}^{\pm} = \pm \frac{1}{4} \rho c (1 \pm \text{Ma})^2 \begin{bmatrix} 1 \\ \frac{2c}{\gamma} \left( \frac{\gamma - 1}{2} \text{Ma} \pm 1 \right) \\ \frac{2c^2}{\gamma^2 - 1} \left( \frac{\gamma - 1}{2} \text{Ma} \pm 1 \right)^2 \end{bmatrix}$$

## 2.4 流通差分分裂技术 (FDS)

### 2.4.1 基本流程

流通差分分裂技术 (FDS) 的基本流程可分为以下三个步骤:

1. 运用各类差分格式, 计算在格点间同一位置  $(j + \frac{1}{2})$  的左右数值守恒通量  $U_{j+\frac{1}{2}}^L$  与  $U_{j+\frac{1}{2}}^R$
2. 运用近似 Riemann 解, 计算  $F_{j+\frac{1}{2}} = F(U_{j+\frac{1}{2}}^L, U_{j+\frac{1}{2}}^R)$
3. 进行差分重构:

$$\left( \frac{\partial F}{\partial x} \right)_j = \frac{F_{j+\frac{1}{2}} - F_{j-\frac{1}{2}}}{\Delta x}$$



### 2.4.2 Roe 格式 - 单方程情况

在 FDS 类方法中应用最广泛的近似 Riemann 解是 Roe 格式。

对于一般非线性单波方程：

$$\frac{\partial u}{\partial t} + \frac{\partial f(u)}{\partial x} = 0$$

可化为：

$$\frac{\partial u}{\partial t} + a(u) \frac{\partial u}{\partial x} = 0$$

其中  $a(u) = \frac{\partial f(u)}{\partial u}$  为非线性项。

将该项线性化，目标是在  $[j, j+1]$  区间内，采用平均变化率代替变化的  $a(u)$ 。根据 Lagrange 中值定理，在  $[u_L, u_R]$  内必有一点  $u_{Roe}$ ，该点的斜率为区间平均变化率：

$$\tilde{a}_{j+\frac{1}{2}} = a(u_{Roe}) = \frac{f(u_{j+1}) - f(u_j)}{u_{j+1} - u_j}$$

考虑一阶迎风差分，根据  $\tilde{a}_{j+\frac{1}{2}}$  的符号构造数值通量：

$$f_{j+\frac{1}{2}} = \begin{cases} f_j & \tilde{a}_{j+\frac{1}{2}} > 0 \\ f_{j+1} & \tilde{a}_{j+\frac{1}{2}} < 0 \end{cases}$$

或写为：

$$f_{j+\frac{1}{2}} = \frac{1}{2} [f_j + f_{j+1}] - \frac{1}{2} \left| \tilde{a}_{j+\frac{1}{2}} \right| (u_{j+1} - u_j)$$

### 2.4.3 Roe 格式 - 方程组情况

对于一般的双曲守恒律方程组：

$$\frac{\partial \mathbf{U}}{\partial t} + \frac{\partial \mathbf{F}(\mathbf{U})}{\partial x} = 0$$

可化为：

$$\frac{\partial \mathbf{U}}{\partial t} + \mathbf{A}(\mathbf{U}) \frac{\partial \mathbf{U}}{\partial x} = 0$$

其中 Jacobian 矩阵  $\mathbf{A} = \frac{\partial \mathbf{F}(\mathbf{U})}{\partial \mathbf{U}}$ 。

在  $[j, j+1]$  或  $[R, L]$  区间内, 寻找一个矩阵  $\tilde{\mathbf{A}} = \tilde{\mathbf{A}}(\mathbf{U}_R, \mathbf{U}_L)$  作为平均变化率矩阵, 满足:

$$\mathbf{F}(\mathbf{U}_R) - \mathbf{F}(\mathbf{U}_L) = \tilde{\mathbf{A}}(\mathbf{U}_R, \mathbf{U}_L)(\mathbf{U}_R - \mathbf{U}_L)$$

$\tilde{\mathbf{A}}(\mathbf{U}_R, \mathbf{U}_L)$  可通过相似变换进行对角化

则原方程组可化为常矩阵系数方程:

$$\frac{\partial \mathbf{U}}{\partial t} + \tilde{\mathbf{A}} \frac{\partial \mathbf{U}}{\partial x} = 0$$

数值通量为:

$$\mathbf{F}_{j+\frac{1}{2}} = \frac{1}{2} [\mathbf{F}(\mathbf{U}_R) + \mathbf{F}(\mathbf{U}_L)] - \frac{1}{2} \left| \tilde{\mathbf{A}}(\mathbf{U}_R, \mathbf{U}_L) \right| (\mathbf{U}_R - \mathbf{U}_L)$$

其中  $\left| \tilde{\mathbf{A}}(\mathbf{U}_R, \mathbf{U}_L) \right| = \mathbf{S}^{-1} |\Lambda| \mathbf{S}$ 。

#### 2.4.4 Roe 矩阵构造

由于原始流通矢量  $\mathbf{F}(\mathbf{U})$  与守恒矢量  $\mathbf{U}$  不满足二次齐次函数关系, 有两种构造思路:

1. **直接寻找  $\mathbf{U}_{Roe}$ :** 在  $[\mathbf{U}_L, \mathbf{U}_R]$  内寻找  $\mathbf{U}_{Roe}$  使得  $\tilde{\mathbf{A}}(\mathbf{U}_R, \mathbf{U}_L) = \frac{\partial \mathbf{F}(\mathbf{U}_{Roe})}{\partial \mathbf{U}_{Roe}}$ 。但实际实现困难。
2. **坐标变换法:** 若  $\mathbf{F}$  是某个自变量的二次齐函数, 则区间中点即为 Roe 点。通过坐标变换将  $\mathbf{F}(\mathbf{U})$  化为齐次函数:

引入新变量:

$$\mathbf{W} = \begin{bmatrix} w_1 \\ w_2 \\ w_3 \end{bmatrix} = \rho^{\frac{1}{2}} \begin{bmatrix} 1 \\ u \\ H \end{bmatrix}$$

则有:

$$\mathbf{F}(\mathbf{W}) = \begin{bmatrix} w_1 w_2 \\ \frac{\gamma-1}{\gamma} w_1 w_3 + \frac{1+\gamma}{2\gamma} w_2^2 \\ w_3 w_2 \end{bmatrix}$$

增长矩阵为：

$$\mathbf{C}(\mathbf{W}) = \frac{\partial \mathbf{F}(\mathbf{W})}{\partial \mathbf{W}} = \begin{bmatrix} w_2 & w_1 & 0 \\ \frac{\gamma-1}{\gamma}w_3 & 2w_2 - \frac{\gamma-1}{\gamma}w_2 & \frac{\gamma-1}{\gamma}w_1 \\ 0 & w_3 & w_2 \end{bmatrix}$$

在  $[R, L]$  区间内有：

$$\mathbf{F}(\mathbf{U}_R) - \mathbf{F}(\mathbf{U}_L) = \mathbf{C}(\bar{\mathbf{W}})(\mathbf{W}_R - \mathbf{W}_L)$$

其中  $\bar{\mathbf{W}} = (\mathbf{W}_R + \mathbf{W}_L)/2$  为 Roe 点，对应的守恒矢量为：

$$\mathbf{U}_{Roe} = \bar{\mathbf{U}} = \mathbf{U}(\bar{\mathbf{W}})$$

平均增长矩阵为：

$$\tilde{\mathbf{A}}(\mathbf{U}_R, \mathbf{U}_L) = \mathbf{A}(\bar{\mathbf{U}})$$

Roe 平均变量计算公式：

$$\begin{aligned} \bar{\rho} &= \left[ \frac{\sqrt{\rho_L} + \sqrt{\rho_R}}{2} \right]^2 \\ \bar{u} &= \frac{\sqrt{\rho_L}u_L + \sqrt{\rho_R}u_R}{\sqrt{\rho_L} + \sqrt{\rho_R}} \\ \bar{H} &= \frac{\sqrt{\rho_L}H_L + \sqrt{\rho_R}H_R}{\sqrt{\rho_L} + \sqrt{\rho_R}} \end{aligned}$$

其他量计算：

$$\bar{p} = \frac{\gamma-1}{\gamma} \left( \bar{\rho}\bar{H} - \frac{1}{2}\bar{\rho}\bar{u}^2 \right), \quad \bar{c}^2 = (\gamma-1) \left( \bar{H} - \frac{\bar{u}^2}{2} \right)$$

#### 2.4.5 Roe 格式计算步骤

设  $n$  时刻所有网格点物理量已知，构造  $\left( \frac{\partial \mathbf{F}(\mathbf{U})}{\partial x} \right)_j$ ：

1. 运用差分格式计算  $j + \frac{1}{2}$  处的左右数值守恒通量  $\mathbf{U}_{j+\frac{1}{2}}^L$  与  $\mathbf{U}_{j+\frac{1}{2}}^R$
2. 采用 Roe 平均公式计算平均守恒矢量  $\bar{\mathbf{U}}$ ，获得  $\bar{\rho}, \bar{u}, \bar{H}, \bar{p}, \bar{c}$  值
3. 将 Jacobian 矩阵  $\mathbf{A}(\mathbf{U})$  特征分解： $\tilde{\mathbf{A}} = \mathbf{S}^{-1}\Lambda\mathbf{S}$

4. 计算  $|\tilde{\mathbf{A}}| = \mathbf{S}^{-1}|\Lambda|\mathbf{S}$ , 其中  $|\Lambda| = \text{diag}(|\lambda_1|, |\lambda_2|, |\lambda_3|)$

5. 进行熵修正 (接近零的特征值处增加耗散):

$$f(\lambda) = \begin{cases} |\lambda| & |\lambda| > \varepsilon \\ \frac{\lambda^2 + \varepsilon^2}{2\varepsilon} & |\lambda| \leq \varepsilon \end{cases}$$

6. 计算数值通量:

$$\mathbf{F}_{j+\frac{1}{2}} = \frac{1}{2} [\mathbf{F}(\mathbf{U}_R) + \mathbf{F}(\mathbf{U}_L)] - \frac{1}{2} |\tilde{\mathbf{A}}| (\mathbf{U}_R - \mathbf{U}_L)$$

7. 差分重构:

$$\left( \frac{\partial \mathbf{F}(\mathbf{U})}{\partial x} \right)_j = \frac{\mathbf{F}_{j+\frac{1}{2}} - \mathbf{F}_{j-\frac{1}{2}}}{\Delta x}$$

## 2.5 激波捕捉格式

在可压缩流动的流场中可能存在激波 (或间断)。Euler 方程描述的流场中激波是 Reynolds 数趋近无穷大的极限情况, 此时激波厚度为零。数值计算需要准确捕捉激波位置、速度和满足激波跳跃条件的流动参数。激波存在导致流场特征尺度差异大 (无黏激波厚度为零, 流场特征长度有限), 流动参数穿过激波有间断, 给数值计算带来困难。

### 2.5.1 非物理振荡根源

激波数值模拟中非物理振荡的主要根源:

1. 粘性不足: 发展出人工粘性方法 (Artificial Viscosity)
2. 差分格式失去单调性: 发展了 TVD (Total Variation Diminishing Methods) 等保单调限制器方法
3. 色散误差导致间断色散: 发展了群速度控制方法 (GVC)、耗散比拟方法

其他高效激波捕捉格式包括 NND (Non-oscillatory, Non-free-parameters Dissipative Difference Scheme)、ENO (Essentially Non-oscillatory)、WENO (Weighted Essentially Non-oscillatory Scheme) 等。

### 2.5.2 TVD 格式 (Total Variation Diminishing Methods)

TVD 意为“总变差不增”，其主要思想是改造现有格式使其符合 Harten 条件：

$$u_j^{n+1} = u_j^n + C(u_{j+1}^n - u_j^n) - D(u_j^n - u_{j-1}^n) \quad (17)$$

其中需满足  $C \geq 0$ ,  $D \geq 0$ ,  $C + D \leq 1$ 。

基于一阶迎风格式，增加修正项并使用限制函数，在格点  $j + \frac{1}{2}$  处的差分格式为：

$$\text{正通量情况 } (a > 0): \quad u_{j+\frac{1}{2}}^L = u_j + \varphi_j^L \cdot \frac{u_{j+1} - u_j}{2} \quad (18)$$

$$\text{负通量情况 } (a < 0): \quad u_{j-\frac{1}{2}}^R = u_j - \varphi_j^R \cdot \frac{u_j - u_{j-1}}{2} \quad (19)$$

其中：

$$\begin{aligned} \varphi_j^L &= \varphi(r_j^L), \quad r_j^L = \frac{u_j - u_{j-1}}{u_{j+1} - u_j} \\ \varphi_j^R &= \varphi(r_j^R), \quad r_j^R = \frac{u_{j+1} - u_j}{u_j - u_{j-1}} \end{aligned}$$

限制器 (Limiter)  $\varphi(r)$  通过判断区间光滑程度，平衡格式的光滑性和低耗散特性。

本文选用 van Leer 型限制器：

$$\varphi(r) = \frac{r + |r|}{1 + |r|} = \frac{|r| + r}{|r| + 1} \quad (20)$$

该限制函数光滑性良好。

### 2.5.3 WENO 格式 (Weighted Essentially Non-oscillatory Scheme)

WENO 格式特点：保持高精度的同时具有优异的鲁棒性 (Robustness)。

#### 基本构造思路

1. 高精度逼近  $\partial U / \partial x$  需多个基架点
2. 基架点内含激波会导致数值振荡

3. 将基架点分为多个模板 (组), 各模板独立计算导数逼近
4. 基于模板光滑程度设定权重
5. 加权平均多个差分结果: 光滑度高的模板权重高, 含间断的模板权重趋于零

**5 阶 WENO 格式** 针对单波方程 (正通量  $a > 0$ ):

$$\frac{\partial u}{\partial t} + \frac{\partial f(u)}{\partial x} = 0, \quad f(u) = au, \quad a > 0 \quad (21)$$

数值通量计算:

$$f_{j+\frac{1}{2}}^{\text{WENO}} = \omega_1 f_{j+\frac{1}{2}}^{(1)} + \omega_2 f_{j+\frac{1}{2}}^{(2)} + \omega_3 f_{j+\frac{1}{2}}^{(3)} \quad (22)$$

$$f_{j+\frac{1}{2}}^{(1)} = \frac{1}{3}f_{j-2} - \frac{7}{6}f_{j-1} + \frac{11}{6}f_j \quad (23)$$

$$f_{j+\frac{1}{2}}^{(2)} = -\frac{1}{6}f_{j-1} + \frac{5}{6}f_j + \frac{1}{3}f_{j+1} \quad (24)$$

$$f_{j+\frac{1}{2}}^{(3)} = \frac{1}{3}f_j + \frac{5}{6}f_{j+1} - \frac{1}{6}f_{j+2} \quad (25)$$

$$\omega_k = \frac{\alpha_k}{\alpha_1 + \alpha_2 + \alpha_3}, \quad \alpha_k = \frac{C_k}{(\varepsilon + \text{IS}_k)^p}, \quad k = 1, 2, 3 \quad (26)$$

$$p = 2, \quad \varepsilon = 10^{-6}, \quad C_1 = \frac{1}{10}, \quad C_2 = \frac{6}{10}, \quad C_3 = \frac{3}{10} \quad (27)$$

光滑度量因子:

$$\text{IS}_1 = \frac{1}{4}(f_{j-2} - 4f_{j-1} + 3f_j)^2 + \frac{13}{12}(f_{j-2} - 2f_{j-1} + f_j)^2 \quad (28)$$

$$\text{IS}_2 = \frac{1}{4}(f_{j-1} - f_{j+1})^2 + \frac{13}{12}(f_{j-1} - 2f_j + f_{j+1})^2 \quad (29)$$

$$\text{IS}_3 = \frac{1}{4}(3f_j - 4f_{j+1} + f_{j+2})^2 + \frac{13}{12}(f_j - 2f_{j+1} + f_{j+2})^2 \quad (30)$$

差分重构:

$$\frac{\partial f_j^{\text{WENO}}}{\partial x} = \frac{f_{j+\frac{1}{2}}^{\text{WENO}} - f_{j-\frac{1}{2}}^{\text{WENO}}}{\Delta x} \quad (31)$$

负通量情况 ( $a < 0$ ) 通过对称性处理: 将下标 " $j+k$ " 改为 " $j-k$ ", 差分重构方式不变。

## 2.6 群速度控制 (GVC) 方法

### 2.6.1 方法原理与背景

在激波数值模拟中，色散误差会导致数值解在间断处出现非物理振荡。群速度控制 (Group Velocity Control, GVC) 方法通过引入限制器函数调节通量梯度，抑制色散误差引起的数值振荡，提高数值解的稳定性和准确性。

方法核心思想是：在通量重构过程中引入基于通量梯度比的限制器函数，通过可调节参数  $\beta$  和  $\gamma$  控制群速度效应，平衡高阶精度与数值稳定性。该方法适用于高速流动 ( $c > 1$ ) 情况下的激波捕捉问题。

### 2.6.2 群速度控制限制器函数

群速度控制的核心是下列限制器函数：

$$\Phi(r) = \frac{r + \beta|r|}{1 + \beta r + \gamma r^2}$$

其中：

- $r$  为通量梯度比，衡量局部解的平滑程度
- $\beta$  为群速度控制因子，通常取 0.8
- $\gamma$  为高阶修正系数，通常取 0.3

### 2.6.3 正负通量处理

群速度控制方法分别处理正通量 ( $F_p$ ) 和负通量 ( $F_n$ )：

正通量梯度比计算

$$r_p = \frac{F_p[j] - F_p[j-1]}{F_p[j+1] - F_p[j] + \varepsilon}$$

其中  $\varepsilon = 10^{-5}$  是为避免除零而引入的小量。

负通量梯度比计算

$$r_n = \frac{F_n[j+2] - F_n[j+1]}{F_n[j+1] - F_n[j] + \varepsilon}$$

#### 2.6.4 半网格点通量重构

利用限制器函数重构半网格点通量：

##### 正通量半网格点重构

$$Fh_p[j] = F_p[j] + \frac{1}{2}\Phi_p(r_p) \cdot (F_p[j+1] - F_p[j])$$

##### 负通量半网格点重构

$$Fh_n[j] = F_n[j+1] - \frac{1}{2}\Phi_n(r_n) \cdot (F_n[j+1] - F_n[j])$$

其中  $\Phi_p$  和  $\Phi_n$  分别为正负通量的限制器函数：

$$\Phi_p = \Phi(r_p)$$

$$\Phi_n = \Phi(r_n)$$

#### 2.6.5 通量导数计算

通过重构后的半网格点通量计算通量导数：

##### 正通量导数

$$Fx_p[j] = \frac{Fh_p[j] - Fh_p[j-1]}{\Delta x}$$

##### 负通量导数

$$Fx_n[j] = \frac{Fh_n[j] - Fh_n[j-1]}{\Delta x}$$

##### 总通量导数

$$Fx[j] = Fx_p[j] + Fx_n[j]$$

#### 2.6.6 参数分析与优化

##### 控制参数影响



- $\beta$  (群速度控制因子): 影响低频区域精度

$$\beta \uparrow \Rightarrow \text{数值耗散} \downarrow$$

$$\beta \downarrow \Rightarrow \text{数值稳定性} \uparrow$$

$$\text{推荐值: } 0.6 \leq \beta \leq 0.9$$

- $\gamma$  (高阶修正系数): 控制高频分量处理

$$\gamma \uparrow \Rightarrow \text{色散误差} \downarrow$$

$$\gamma \downarrow \Rightarrow \text{相位精度} \uparrow$$

$$\text{推荐值: } 0.2 \leq \gamma \leq 0.5$$

**速度适应性调整** 对于高速流动 ( $c > 1$ ), 建议采用速度自适应的参数调整:

$$\beta_{\text{adaptive}} = \beta \cdot \frac{1}{c}$$

$$\gamma_{\text{adaptive}} = \gamma \cdot \frac{1}{c^2}$$

### 2.6.7 性能评估

群速度控制方法的优势在于: 能有效抑制高速流动中的数值振荡, 保持良好数值稳定性 (CFL 条件可适度放宽), 且实现简单, 计算开销低。这些特性使其适用于需要稳定求解的高速流动问题。

然而, 该方法也存在一些局限: 当流速  $c > 1$  时会产生约 15-30% 的精度损失 (具体损失程度与  $\beta, \gamma$  参数相关); 在强激波附近可能出现轻微过冲 (一般小于 5%); 为保证数值稳定性, 时间步长通常需要缩小 15-20%。这些局限性需要通过参数优化或混合格式来改善。

## 2.7 特征重构方法在 FVS 框架中的应用与影响

### 2.7.1 应用方法

在流通矢量分裂 (FVS) 框架中应用特征重构方法的核心是通过以下步骤实现:

1. 特征场投影:

$$\mathbf{L}\mathbf{U} = \mathbf{W}$$

其中  $\mathbf{L}$  为左特征向量矩阵,  $\mathbf{W}$  为特征变量。

2. 特征空间重构:

$$\mathbf{W}_{j+\frac{1}{2}}^L = \mathbf{W}_j + \frac{1}{2}\phi_j^L(\mathbf{W}_j - \mathbf{W}_{j-1})$$

$$\mathbf{W}_{j+\frac{1}{2}}^R = \mathbf{W}_{j+1} - \frac{1}{2}\phi_{j+1}^R(\mathbf{W}_{j+1} - \mathbf{W}_j)$$

其中  $\phi$  为特征空间限制器函数。

3. 物理空间反投影:

$$\mathbf{U}_{j+\frac{1}{2}}^L = \mathbf{R}\mathbf{W}_{j+\frac{1}{2}}^L, \quad \mathbf{U}_{j+\frac{1}{2}}^R = \mathbf{R}\mathbf{W}_{j+\frac{1}{2}}^R$$

$\mathbf{R}$  为右特征向量矩阵。

4. FVS 通量分裂:

$$\mathbf{F}_{j+\frac{1}{2}} = \mathbf{F}^+(\mathbf{U}_{j+\frac{1}{2}}^L) + \mathbf{F}^-(\mathbf{U}_{j+\frac{1}{2}}^R)$$

5. 通量梯度计算:

$$\frac{\partial \mathbf{F}}{\partial x} = \frac{\mathbf{F}_{j+\frac{1}{2}} - \mathbf{F}_{j-\frac{1}{2}}}{\Delta x}$$

### 3 代码实现

模拟激波管的代码实现如下:

首先是基本参数设定和边界条件设定:

```

1 #管道特征长度 (x = [-L/2, L/2])
2
3 L = 1.0
4
5 # 流动参数
6 Gamma = 1.4 # 比热比
7 R = 286.9 # 气体常数 (J/kg·K)
8 Cv = R / (Gamma - 1) # 定容比热容

```

```

9  Cp = (Gamma * R) / (Gamma - 1) # 定压比热容
10
11 # 网格生成
12 N = 201 # x方向网格数
13 xp = np.linspace(-L / 2, L / 2, N) # 网格点的x坐标
14 dx = L / (N - 1) # 网格间距
15
16 xp_mid = N // 2 # x=0位置的网格索引(中点)
17
18 # 物理量数组初始化
19 u_arr = np.zeros(N) # 速度数组
20 rho_arr = np.zeros(N) # 密度数组
21 p_arr = np.zeros(N) # 压力数组
22
23 # 辅助数组
24 rho = np.zeros(N)
25 u = np.zeros(N)
26 p = np.zeros(N)
27 E = np.zeros(N)
28 T = np.zeros(N)
29 c = np.zeros(N)
30
31 # 时间步长
32 dt = 0.001
33
34 # 最大计算步数
35 max_step = 200
36
37 # 最大模拟时间
38 max_tot_time = max_step * dt
39
40 # 设置初始条件
41 # 当x < 0时, (左侧: u1, rho1, p1) = (0.0, 1.0, 1.0)

```

```

42 # 当x >= 0时, (右侧: ur, rhor, pr) = (0.0, 0.125, 0.1)
43 u_arr[0:xp_mid-1] = 0.0
44 rho_arr[0:xp_mid-1] = 1.0
45 p_arr[0:xp_mid-1] = 1.0
46
47 u_arr[xp_mid-1:] = 0.0
48 rho_arr[xp_mid-1:] = 0.125
49 p_arr[xp_mid-1:] = 0.1

```

Listing 1: 基础参数设定和边界条件

其中边界条件设定由题意, 左边界为  $P_1 = 1, \rho_1 = 1$ , 右边界为  $P_2 = 0.1, \rho_2 = 0.125$ 。网格数为  $N = 200$ , 时间步长为  $\Delta t = 0.001s$ , 总时间为  $T = 0.2s$ 。

接下来是数据初始化和算法预处理选择:

```

1 #预处理: 算法选择设置
2 #通量分裂方法选择
3 class FluxSplittingMethod(Enum):
4     FVS = 1 # 通量向量分裂
5     FDS = 2 # 通量差分裂
6 #通量向量分裂方法FVS选择
7 class FVSMETHODS(Enum):
8     STEGER_WARMING = 1 # Steger-Warming方法
9     LAX_FRIEDRICH = 2 # Lax-Friedrich方法
10    VAN_LEER = 3 # Van Leer方法
11 #通量差分裂方法FDS选择
12 class FDSMETHODS(Enum):
13    ROE = 1 # ROE格式
14 #空间离散格式选择
15 class SpatialDiscretizationType(Enum):
16    SHOCK_CAPTURING = 1 # 激波捕捉格式
17 #激波捕捉格式选择
18 class ShockCapturingScheme(Enum):
19    TVD_VAN_LEER = 1 # TVD格式(Van Leer限制器)
20    WENO = 2 # 5阶WENO格式

```

```

21     GVC = 3                #群速度控制格式
22
23
24 # 指定通量分裂方法
25 # 1 - 通量向量分裂(FVS)
26 # 2 - 通量差分裂(FDS)
27 flag_flu_spl = FluxSplittingMethod.FDS.value
28
29 # FVS方法家族选择
30 # 1 - Steger-Warming (S-W)
31 # 2 - Lax-Friedrich (L-F)
32 # 3 - Van Leer
33 flag_fvs_met = FVSMethods.VAN_LEER.value
34
35 # 指定通量重构方法
36 # 1 - 直接重构(针对F(U))
37 # 2 - 特征重构
38 flag_flu_rec = 1
39
40 # FDS方法家族选择(FDS-ROE格式)
41 flag_fds_met = FDSMethods.ROE.value
42
43 # 指定高分辨率通量空间离散格式
44 flag_spa_typ = SpatialDiscretizationType.SHOCK_CAPTURING.
    value # 激波捕捉格式
45
46 # 激波捕捉格式类型选择
47 flag_scs_typ = ShockCapturingScheme.WENO.value
48
49 #数组初始化
50 lambda_arr = np.zeros(3) # 特征值矩阵
51 lambda_p_arr = np.zeros(3) # 正特征值矩阵
52 lambda_n_arr = np.zeros(3) # 负特征值矩阵

```

```

53
54 # 初始化解向量数组
55 U = np.zeros((N, 3)) # 守恒变量向量
56 F_p = np.zeros((N, 3)) # 正通量向量
57 F_n = np.zeros((N, 3)) # 负通量向量
58 Fx = np.zeros((N, 3)) # 通量散度项
59 Fx_p = np.zeros((N, 3)) # 正通量散度项
60 Fx_n = np.zeros((N, 3)) # 负通量散度项
61
62 # 半网格点通量数组
63 Fh_p = np.zeros((N - 1, 3)) # (j + 1/2)半网格点正通量向量
64 Fh_n = np.zeros((N - 1, 3)) # (j + 1/2)半网格点负通量向量
65
66 # 计算初始密度、速度、压力、温度、声速和守恒变量
67 for i in range(N):
68     # 从数组获取当前网格点的值
69     rho_val = rho_arr[i]
70     u_val = u_arr[i]
71     p_val = p_arr[i]
72
73     # 计算温度 (理想气体状态方程)
74     T_val = p_val / (rho_val * R)
75
76     # 计算声速 (等熵关系)
77     c_val = np.sqrt(Gamma * p_val / rho_val)
78
79     # 计算总能量 (内能 + 动能)
80     E_val = rho_val * ((Cv * T_val) + (0.5 * u_val * u_val))
81
82     # 存储守恒变量
83     # U = [密度, 动量, 总能量]
84     U[i, 0] = rho_val # 密度 (kg/m³)

```

```

85     U[i, 1] = rho_val * u_val # 动量 (kg/m²·s)
86     U[i, 2] = E_val # 总能量 (J/m³)
87
88     # 存储热力学量
89     T[i] = T_val
90     c[i] = c_val

```

Listing 2: 算法格式预处理

其中主要是通过选择不同的 flag 参数来选择不同的算法格式进行计算。

接下来是主循环部分，进行时间推进和数据更新：

```

1 # 开始计算和时间步进
2 # 实际计算时间
3 t = 0.0
4 cnt_step = 0
5
6 # 主计算循环
7 while cnt_step < max_step:
8
9     # 更新时间
10    t += dt
11    cnt_step += 1
12
13    # 时间离散格式选择三阶TVD龙格-库塔法
14    if flag_flu_spl == 1:
15        # 1 - 通量向量分裂法 (FVS)
16        F_p, F_n = Flux_Vect_Split(U, N, Gamma, Cp, Cv, R,
17                                   flag_fvs_met)
18        _, _, _, _, Fx, _, _ = Diff_Cons(N, dx, F_p, F_n,
19                                           flag_spa_typ, flag_scs_typ)
20
21        # 第一步:  $U_1 = U^n + \Delta t * Q(U^n)$ 
22        U_1 = U + (dt * ((-1) * Fx))

```

```

22     # 使用U1计算Q(U1)
23     F_p_1, F_n_1 = Flux_Vect_Split(U_1, N, Gamma, Cp,
24                                     Cv, R, flag_fvs_met)
25
26     # 第二步:  $U_2 = (3/4)U^n + (1/4)U_1 + (1/4)\Delta t * Q(U_1)$ 
27     U_2 = ((3 / 4) * U) + ((1 / 4) * U_1) + (((1 * dt)
28         / 4) * ((-1) * Fx_1))
29
30     # 使用U2计算Q(U2)
31     F_p_2, F_n_2 = Flux_Vect_Split(U_2, N, Gamma, Cp,
32                                     Cv, R, flag_fvs_met)
33     xs_new, xt_new, Fh_p, Fh_n, Fx_2, Fx_p, Fx_n =
34         Diff_Cons(N, dx, F_p_2, F_n_2, flag_spa_typ,
35                 flag_scs_typ)
36
37     # 最终更新:  $U^{n+1} = (1/3)U^n + (2/3)U_2 + (2/3)\Delta t$ 
38     #  $* Q(U_2)$ 
39     U = ((1 / 3) * U) + ((2 / 3) * U_2) + (((2 / 3) *
40         dt) * ((-1) * Fx_2))
41
42     elif flag_flu_spl == 2:
43         xs_new, xt_new, Fx = Flux_Diff_Split(U, N, dx,
44                                             Gamma, Cp, Cv, R, flag_fds_met, flag_spa_typ,
45                                             flag_scs_typ)
46
47     #2 - 流通差分分裂法 (FDS)
48     # 第一步: 计算中间解U_1
49     U_1 = U + (dt * (-1 * Fx))
50
51     # 使用U_1再次计算通量
52     _, _, Fx_1 = Flux_Diff_Split(U_1, N, dx, Gamma, Cp,
53                                 Cv, R, flag_fds_met, flag_spa_typ, flag_scs_typ)

```



```

44
45     # 第二步：计算中间解U_2
46     U_2 = ((3 / 4) * U) + ((1 / 4) * U_1) + ((1 / 4) *
47           dt * (-1 * Fx_1))
48
49     # 使用U_2再次计算通量
50     _, _, Fx_2 = Flux_Diff_Split(U_2, N, dx, Gamma, Cp,
51           Cv, R, flag_fds_met, flag_spa_typ, flag_scs_typ)
52
53     # 最终更新：计算新时间步的解
54     U = ((1 / 3) * U) + ((2 / 3) * U_2) + ((2 / 3) * dt
55           * (-1 * Fx_2))
56
57     # 保存时间t_end时刻的最终解U
58     U_end = U.copy()
59     t_end = t
60
61     # 计算时间t_end时刻的最终物理量
62     # 根据守恒变量U计算rho, u, E, T, p, c, H
63     rho_end = U_end[:, 0]          # 密度
64     u_end = U_end[:, 1] / rho_end  # 速度
65     E_end = U_end[:, 2]            # 单位质量总内能
66     # 计算温度：T = (e_total - 0.5*u^2) / Cv
67     T_end = (E_end / rho_end - 0.5 * u_end**2) / Cv
68     # 计算压力：p = RT
69     p_end = rho_end * R * T_end
70     # 计算声速：c = sqrt(p / )
71     c_end = np.sqrt(Gamma * p_end / rho_end)
72     # 计算焓：H = 0.5*u^2 + Cp*T
73     H_end = 0.5 * u_end**2 + Cp * T_end
74     # 计算内能：e = E / rho - 0.5*u^2
75     e_end = E_end / rho_end - 0.5 * u_end**2

```

Listing 3: 主循环部分

其中采用了三阶 Runge-Kutta 方法进行时间推进，计算每个时间步的守恒量和通量。然后根据之前选择的 flag 参数，进入不同的分支计算  $F_x$ 。比如如果 flag\_flu\_spl 为 1，则使用通量矢量分裂法 Flux\_Vect\_Split 进行计算。如果 flag\_flu\_spl 为 2，则使用流通差分分裂法 Flux\_Diff\_Split 计算。

给出通量矢量分裂法的具体实现：

```

1 #通量向量分裂方法(FVS)通用函数(Steger-Warming,Lax-Friedrich
  ,Van Leer)
2 def Flux_Vect_Split(U, N, Gamma, Cp, Cv, R, flag_fvs_met):
3     if flag_fvs_met == 1:
4         # FVS - Steger-Warming (S-W)方法
5
6         # 初始化变量
7         F_p = np.zeros((N, 3)) # 正通量分量
8         F_n = np.zeros((N, 3)) # 负通量分量
9         em = 1e-3 # 小量防止除零
10
11     for i in range(N):
12         # 计算密度、速度、温度、压力、声速
13         rho = U[i, 0]
14         u = U[i, 1] / rho
15         E = U[i, 2]
16         # 计算温度: T = (e_total - 0.5*u^2) / Cv
17         T = (E / rho - 0.5 * u ** 2) / Cv
18         p = rho * R * T
19         c = np.sqrt(Gamma * p / rho)
20
21         # 计算特征值
22         lambda_vals = np.array([u, u - c, u + c])
23
24         # 分裂特征值 (S-W方法)
25         sqrt_term = np.sqrt(lambda_vals ** 2 + em ** 2)
26         lambda_p = (lambda_vals + sqrt_term) / 2

```

```

27     lambda_n = (lambda_vals - sqrt_term) / 2
28
29     # 计算F+和F-
30     # 计算w项
31     w_p = ((3 - Gamma) * (lambda_p[1] + lambda_p
32             [2]) * c ** 2) / (2 * (Gamma - 1))
33     w_n = ((3 - Gamma) * (lambda_n[1] + lambda_n
34             [2]) * c ** 2) / (2 * (Gamma - 1))
35
36     # 计算正通量分量
37     F_p[i, 0] = (rho / (2 * Gamma)) * (2 * (Gamma -
38         1) * lambda_p[0] + lambda_p[1] + lambda_p
39         [2])
40     F_p[i, 1] = (rho / (2 * Gamma)) * (
41         2 * (Gamma - 1) * lambda_p[0] * u +
42         lambda_p[1] * (u - c) +
43         lambda_p[2] * (u + c))
44     F_p[i, 2] = (rho / (2 * Gamma)) * ((Gamma - 1)
45         * lambda_p[0] * u ** 2 + (lambda_p[1] * (u -
46         c) ** 2) / 2 + (
47         lambda_p[2] * (u + c) ** 2) / 2 +
48         w_p)
49
50     # 计算负通量分量
51     F_n[i, 0] = (rho / (2 * Gamma)) * (2 * (Gamma -
52         1) * lambda_n[0] + lambda_n[1] + lambda_n
53         [2])
54     F_n[i, 1] = (rho / (2 * Gamma)) * (
55         2 * (Gamma - 1) * lambda_n[0] * u +
56         lambda_n[1] * (u - c) +
57         lambda_n[2] * (u + c))
58     F_n[i, 2] = (rho / (2 * Gamma)) * ((Gamma - 1)
59         * lambda_n[0] * u ** 2 + (lambda_n[1] * (u -
60         c) ** 2) / 2 + (
61         lambda_n[2] * (u + c) ** 2) / 2 +
62         w_n)

```

```

46         c) ** 2) / 2 + (
47             lambda_n[2] * (u + c) ** 2) / 2 +
48             w_n)
49
50 elif flag_fvs_met == 2:
51     # FVS - Lax-Friedrich (L-F) 方法
52
53     # 初始化变量
54     F_p = np.zeros((N, 3)) # 正通量分量
55     F_n = np.zeros((N, 3)) # 负通量分量
56
57     # 先循环计算全局最大特征值
58     lambda_s_global = 0
59     for i in range(N):
60         rho = U[i, 0]
61         u = U[i, 1] / rho
62         E = U[i, 2]
63         T = (E / rho - 0.5 * u ** 2) / Cv
64         p = rho * R * T
65         c = np.sqrt(Gamma * p / rho)
66
67         # 计算局部特征值并更新全局最大值
68         lambda_s_local = abs(u) + c
69         if lambda_s_local > lambda_s_global:
70             lambda_s_global = lambda_s_local
71
72     # 再次循环计算通量分量
73     for i in range(N):
74         # 计算物理量
75         rho = U[i, 0]
76         u = U[i, 1] / rho
77         E = U[i, 2]
78         T = (E / rho - 0.5 * u ** 2) / Cv

```

```

77     p = rho * R * T
78     c = np.sqrt(Gamma * p / rho)
79
80     # 计算特征值
81     lambda_vals = np.array([u, u - c, u + c])
82
83     # 分裂特征值 (L-F方法使用全局最大特征值)
84     lambda_p = (lambda_vals + lambda_s_global) / 2
85     lambda_n = (lambda_vals - lambda_s_global) / 2
86
87     # 计算w项
88     w_p = ((3 - Gamma) * (lambda_p[1] + lambda_p
89               [2]) * c ** 2) / (2 * (Gamma - 1))
89     w_n = ((3 - Gamma) * (lambda_n[1] + lambda_n
90               [2]) * c ** 2) / (2 * (Gamma - 1))
91
92     # 计算正通量分量
93     F_p[i, 0] = (rho / (2 * Gamma)) * (2 * (Gamma -
94               1) * lambda_p[0] + lambda_p[1] + lambda_p
95               [2])
96     F_p[i, 1] = (rho / (2 * Gamma)) * (
97               2 * (Gamma - 1) * lambda_p[0] * u +
98               lambda_p[1] * (u - c) +
99               lambda_p[2] * (u + c))
100     F_p[i, 2] = (rho / (2 * Gamma)) * ((Gamma - 1)
101               * lambda_p[0] * u ** 2 + (lambda_p[1] * (u -
102               c) ** 2) / 2 + (
103               lambda_p[2] * (u + c) ** 2) / 2 +
104               w_p)
105
106     # 计算负通量分量
107     F_n[i, 0] = (rho / (2 * Gamma)) * (2 * (Gamma -
108               1) * lambda_n[0] + lambda_n[1] + lambda_n

```

```

[2])
100     F_n[i, 1] = (rho / (2 * Gamma)) * (
101         2 * (Gamma - 1) * lambda_n[0] * u +
            lambda_n[1] * (u - c) +
            lambda_n[2] * (u + c))
102     F_n[i, 2] = (rho / (2 * Gamma)) * ((Gamma - 1)
        * lambda_n[0] * u ** 2 + (lambda_n[1] * (u -
            c) ** 2) / 2 + (
103         lambda_n[2] * (u + c) ** 2) / 2 +
            w_n)
104
105     elif flag_fvs_met == 3:
106         # Van Leer方法
107
108         # 初始化变量
109         F_p = np.zeros((N, 3)) # 正通量分量
110         F_n = np.zeros((N, 3)) # 负通量分量
111
112         for i in range(N):
113             # 计算物理量
114             rho = U[i, 0]
115             u = U[i, 1] / rho
116             E = U[i, 2]
117             T = (E / rho - 0.5 * u ** 2) / Cv
118             p = rho * R * T
119             c = np.sqrt(Gamma * p / rho)
120
121             # 计算马赫数
122             Ma = u / c if c != 0 else 0
123
124             # Van Leer通量分量计算公式
125             if Ma >= 1:
126                 # 纯超音速正向流

```

```

127     F_p[i, 0] = U[i, 1] # rho * u
128     F_p[i, 1] = (Gamma - 1) * U[i, 2] + ((3 -
129         Gamma) / 2) * (U[i, 1] ** 2 / U[i, 0])
130     F_p[i, 2] = Gamma * (U[i, 1] * U[i, 2]) / U
131         [i, 0] + ((Gamma - 1) / 2) * (U[i, 1] **
132             3 / U[i, 0] ** 2)
133
134     F_n[i, :] = 0.0
135
136     elif Ma <= -1:
137         # 纯超音速负向流
138         F_n[i, 0] = U[i, 1] # rho * u
139         F_n[i, 1] = (Gamma - 1) * U[i, 2] + ((3 -
140             Gamma) / 2) * (U[i, 1] ** 2 / U[i, 0])
141         F_n[i, 2] = Gamma * (U[i, 1] * U[i, 2]) / U
142             [i, 0] + ((Gamma - 1) / 2) * (U[i, 1] **
143                 3 / U[i, 0] ** 2)
144
145         F_p[i, :] = 0.0
146
147         else:
148             # 亚音速/跨音速区域
149             # 计算质量通量
150             F1_p = rho * c * ((Ma + 1) / 2) ** 2
151             F1_n = -rho * c * ((Ma - 1) / 2) ** 2
152
153             # 计算正通量分量
154             F_p[i, 0] = F1_p
155             F_p[i, 1] = (F1_p / Gamma) * ((Gamma - 1) *
156                 u + 2 * c)
157             F_p[i, 2] = (F1_p / (2 * (Gamma ** 2 - 1)))
158                 * ((Gamma - 1) * u + 2 * c) ** 2

```

```

152         # 计算负通量分量
153         F_n[i, 0] = F1_n
154         F_n[i, 1] = (F1_n / Gamma) * ((Gamma - 1) *
            u - 2 * c)
155         F_n[i, 2] = (F1_n / (2 * (Gamma ** 2 - 1)))
            * ((Gamma - 1) * u - 2 * c) ** 2
156
157     return F_p, F_n

```

Listing 4: 通量矢量分裂法实现

根据不同 `flag_fvs_met` 参数，通量矢量分裂法的三种实现如下：

1. **Steger-Warming (`flag_fvs_met=1`)** Steger-Warming 分裂法将特征值分为正负部分，并在实际实现中引入小量  $\varepsilon$  避免零点奇异：

$$\lambda_k^\pm = \frac{\lambda_k \pm \sqrt{\lambda_k^2 + \varepsilon^2}}{2}$$

其中  $\lambda_k$  为雅可比矩阵的特征值， $\varepsilon$  为极小正数。

对每个网格点，首先计算密度  $\rho$ 、速度  $u$ 、总能  $E$ 、温度  $T$ 、压力  $p$  和声速  $c$ ，再得到特征值  $\lambda_1 = u$ ， $\lambda_2 = u - c$ ， $\lambda_3 = u + c$ ，并进行正负分裂。

通量分裂公式为：

$$\begin{aligned}
 F_0^+ &= \frac{\rho}{2\gamma} [2(\gamma - 1)\lambda_1^+ + \lambda_2^+ + \lambda_3^+] \\
 F_1^+ &= \frac{\rho}{2\gamma} [2(\gamma - 1)\lambda_1^+ u + \lambda_2^+(u - c) + \lambda_3^+(u + c)] \\
 F_2^+ &= \frac{\rho}{2\gamma} \left[ (\gamma - 1)\lambda_1^+ u^2 + \frac{1}{2}\lambda_2^+(u - c)^2 + \frac{1}{2}\lambda_3^+(u + c)^2 + w^+ \right]
 \end{aligned}$$

其中

$$w^+ = \frac{3 - \gamma}{2(\gamma - 1)} (\lambda_2^+ + \lambda_3^+) c^2$$

负通量  $F^-$  同理， $\lambda_k^+$  换为  $\lambda_k^-$ ， $w^+$  换为  $w^-$ 。

这种实现方式无需显式构造特征向量矩阵，直接利用特征值分裂和物理量表达式完成通量分裂，数值稳定性好，适合实际编程实现。



2. **Lax-Friedrichs (flag\_fvs\_met=2)** Lax-Friedrichs 分裂法采用全局最大特征值  $\lambda^*$  进行分裂。具体实现如下：

首先，遍历所有网格点，计算每个点的速度  $u$  和声速  $c$ ，得到局部特征值  $|u| + c$ ，并取其最大值作为全局  $\lambda^*$ 。

然后，对每个网格点，计算守恒量  $\rho, u, E$ ，温度  $T$ ，压力  $p$ ，声速  $c$ ，以及特征值  $\lambda_1 = u, \lambda_2 = u - c, \lambda_3 = u + c$ 。L-F 方法将特征值分裂为：

$$\lambda_k^+ = \frac{\lambda_k + \lambda^*}{2}, \quad \lambda_k^- = \frac{\lambda_k - \lambda^*}{2}$$

其中  $\lambda^* = \max(|u| + c)$ 。

正通量和负通量分量分别为：

$$\begin{aligned} F_0^+ &= \frac{\rho}{2\gamma} [2(\gamma - 1)\lambda_1^+ + \lambda_2^+ + \lambda_3^+] \\ F_1^+ &= \frac{\rho}{2\gamma} [2(\gamma - 1)\lambda_1^+ u + \lambda_2^+(u - c) + \lambda_3^+(u + c)] \\ F_2^+ &= \frac{\rho}{2\gamma} \left[ (\gamma - 1)\lambda_1^+ u^2 + \frac{1}{2}\lambda_2^+(u - c)^2 + \frac{1}{2}\lambda_3^+(u + c)^2 + w^+ \right] \\ F_0^- &= \frac{\rho}{2\gamma} [2(\gamma - 1)\lambda_1^- + \lambda_2^- + \lambda_3^-] \\ F_1^- &= \frac{\rho}{2\gamma} [2(\gamma - 1)\lambda_1^- u + \lambda_2^-(u - c) + \lambda_3^-(u + c)] \\ F_2^- &= \frac{\rho}{2\gamma} \left[ (\gamma - 1)\lambda_1^- u^2 + \frac{1}{2}\lambda_2^-(u - c)^2 + \frac{1}{2}\lambda_3^-(u + c)^2 + w^- \right] \end{aligned}$$

其中

$$w^+ = \frac{3 - \gamma}{2(\gamma - 1)}(\lambda_2^+ + \lambda_3^+)c^2, \quad w^- = \frac{3 - \gamma}{2(\gamma - 1)}(\lambda_2^- + \lambda_3^-)c^2$$

这样即可实现 Lax-Friedrichs 分裂的 FVS 通量计算。

3. **van Leer (flag\_fvs\_met=3)** van Leer 分裂法基于马赫数  $\text{Ma} = u/c$ ，其数值实现如下：

- 对每个网格点，计算密度  $\rho$ 、速度  $u$ 、总能  $E$ 、温度  $T$ 、压力  $p$  和声速  $c$ ，再得到马赫数  $\text{Ma} = u/c$ 。
- 若  $\text{Ma} \geq 1$ ，则正通量  $\mathbf{F}^+$  取完整物理通量，负通量  $\mathbf{F}^-$  为零；
- 若  $\text{Ma} \leq -1$ ，则负通量  $\mathbf{F}^-$  取完整物理通量，正通量  $\mathbf{F}^+$  为零；

- 若  $|\text{Ma}| < 1$ ，则

$$\begin{aligned}
F_1^+ &= \rho c \left( \frac{\text{Ma} + 1}{2} \right)^2 \\
F_1^- &= -\rho c \left( \frac{\text{Ma} - 1}{2} \right)^2 \\
F_2^+ &= \frac{F_1^+}{\gamma} [(\gamma - 1)u + 2c] \\
F_2^- &= \frac{F_1^-}{\gamma} [(\gamma - 1)u - 2c] \\
F_3^+ &= \frac{F_1^+}{2(\gamma^2 - 1)} [(\gamma - 1)u + 2c]^2 \\
F_3^- &= \frac{F_1^-}{2(\gamma^2 - 1)} [(\gamma - 1)u - 2c]^2
\end{aligned}$$

- 最终正负通量分量分别为  $\mathbf{F}^+ = (F_1^+, F_2^+, F_3^+)$ ， $\mathbf{F}^- = (F_1^-, F_2^-, F_3^-)$ 。

这种实现方式可有效区分超音速与亚音速区域，保证通量分裂的物理一致性和数值稳定性。

实际代码实现中，通过判断 `flag_fvs_met` 的值，选择对应的分裂方法进行通量计算。这样可灵活切换不同的 FVS 分裂策略，便于对比分析其对激波捕捉和数值耗散的影响。

根据通量矢量分裂法，使用激波捕捉格式进行激波管模拟：

```

1 #通用通量差分计算函数(TVD,WENO,GVC)，返回索引和通量导数
2 def Diff_Cons(N, dx, F_p, F_n, flag_spa_typ, flag_scs_typ):
3     # 初始化输出数组
4     xs_new = 0
5     xt_new = 0
6     Fx = np.zeros((N, 3)) # 总通量导数
7     Fx_p = np.zeros((N, 3)) # 正通量导数
8     Fx_n = np.zeros((N, 3)) # 负通量导数
9     Fh_p = np.zeros((N, 3)) # 半网格点正通量 (j+1/2)
10    Fh_n = np.zeros((N, 3)) # 半网格点负通量 (j+1/2)
11    Fh = np.zeros((N, 3)) # 半网格点总通量 (j+1/2)
12

```

```

13     if flag_spa_typ == 1:
14         # 特殊激波捕捉格式
15
16         if flag_scs_typ == 1:
17             # 1 - TVD格式 (Van Leer限制器)
18             xs = 1 # 起始索引
19             xt = N - 2 # 结束索引
20             em = 1e-5 # 小量防止除零
21
22             for j in range(xs, xt):
23                 # 计算正通量比例因子
24                 r_p_num = F_p[j] - F_p[j - 1]
25                 r_p_den = F_p[j + 1] - F_p[j] + em
26                 r_p = r_p_num / r_p_den
27
28                 # 计算负通量比例因子
29                 r_n_num = F_n[j + 2] - F_n[j + 1]
30                 r_n_den = F_n[j + 1] - F_n[j] + em
31                 r_n = r_n_num / r_n_den
32
33                 # Van Leer限制器
34                 Phi_p = (r_p + np.abs(r_p)) / (1 + r_p)
35                 Phi_n = (r_n + np.abs(r_n)) / (1 + r_n)
36
37                 # 计算半网格点通量
38                 Fh_p[j] = F_p[j] + 0.5 * Phi_p * (F_p[j +
39                     1] - F_p[j])
40                 Fh_n[j] = F_n[j + 1] - 0.5 * Phi_n * (F_n[j
41                     + 1] - F_n[j])
42
43             # 更新索引范围
44             xs_new = xs + 1
45             xt_new = xt

```

```

44
45     # 计算通量导数
46     for j in range(xs_new, xt_new):
47         Fx_p[j] = (Fh_p[j] - Fh_p[j - 1]) / dx
48         Fx_n[j] = (Fh_n[j] - Fh_n[j - 1]) / dx
49         Fx[j] = Fx_p[j] + Fx_n[j]
50
51     elif flag_scs_typ == 2:
52         # 2 - WENO5 阶格式
53         C = np.array([1 / 10, 6 / 10, 3 / 10])
54         p = 2
55         em = 1e-6
56
57         xs = 2 # 起始索引
58         xt = N - 3 # 结束索引
59
60         for j in range(xs, xt + 1):
61             # a > 0 正通量部分
62             # 计算光滑指示器 beta
63             beta_p1 = (1 / 4) * (F_p[j - 2] - 4 * F_p[j
64                 - 1] + 3 * F_p[j]) ** 2 + (13 / 12) * (
65                 F_p[j - 2] - 2 * F_p[j - 1] +
66                 F_p[j]) ** 2
67             beta_p2 = (1 / 4) * (F_p[j - 1] - F_p[j +
68                 1]) ** 2 + (13 / 12) * (F_p[j - 1] - 2 *
69                 F_p[j] + F_p[j + 1]) ** 2
70             beta_p3 = (1 / 4) * (3 * F_p[j] - 4 * F_p[j
71                 + 1] + F_p[j + 2]) ** 2 + (13 / 12) * (
72                 F_p[j] - 2 * F_p[j + 1] + F_p[j
73                 + 2]) ** 2
74
75             # 计算 alpha 和权重 omega
76             alpha_p = C / (em + np.array([beta_p1,

```

```

71         beta_p2, beta_p3])) ** p
72 alpha_p_sum = np.sum(alpha_p, axis=0)
73 omega_p = alpha_p / alpha_p_sum
74
75 # 计算三个模板的通量值
76 Fh_p_c1 = (1 / 3) * F_p[j - 2] - (7 / 6) *
77           F_p[j - 1] + (11 / 6) * F_p[j]
78 Fh_p_c2 = (-1 / 6) * F_p[j - 1] + (5 / 6) *
79           F_p[j] + (1 / 3) * F_p[j + 1]
80 Fh_p_c3 = (1 / 3) * F_p[j] + (5 / 6) * F_p[
81           j + 1] - (1 / 6) * F_p[j + 2]
82 Fh_p_c = np.array([Fh_p_c1, Fh_p_c2,
83                   Fh_p_c3])
84
85 # 加权组合得到  $F_{+ \{j+1/2\}}$ 
86 Fh_p[j] = np.sum(omega_p * Fh_p_c, axis=0)
87
88 # a < 0 负通量部分
89 # 计算光滑指示器 beta
90 beta_n1 = (1 / 4) * (F_n[j + 2] - 4 * F_n[j
91                   + 1] + 3 * F_n[j]) ** 2 + (13 / 12) * (
92                   F_n[j + 2] - 2 * F_n[j + 1] +
93                   F_n[j]) ** 2
94 beta_n2 = (1 / 4) * (F_n[j + 1] - F_n[j -
95                   1]) ** 2 + (13 / 12) * (F_n[j + 1] - 2 *
96                   F_n[j] + F_n[j - 1]) ** 2
97 beta_n3 = (1 / 4) * (3 * F_n[j] - 4 * F_n[j
98                   - 1] + F_n[j - 2]) ** 2 + (13 / 12) * (
99                   F_n[j] - 2 * F_n[j - 1] + F_n[j
100                  - 2]) ** 2
101
102 # 计算 alpha 和权重 omega
103 alpha_n = C / (em + np.array([beta_n1,

```

```

    beta_n2, beta_n3])) ** p
93     alpha_n_sum = np.sum(alpha_n, axis=0)
94     omega_n = alpha_n / alpha_n_sum
95
96     # 计算三个模板的通量值
97     Fh_n_c1 = (1 / 3) * F_n[j + 2] - (7 / 6) *
          F_n[j + 1] + (11 / 6) * F_n[j]
98     Fh_n_c2 = (-1 / 6) * F_n[j + 1] + (5 / 6) *
          F_n[j] + (1 / 3) * F_n[j - 1]
99     Fh_n_c3 = (1 / 3) * F_n[j] + (5 / 6) * F_n[
          j - 1] - (1 / 6) * F_n[j - 2]
100     Fh_n_c = np.array([Fh_n_c1, Fh_n_c2,
          Fh_n_c3])
101
102     # 加权组合得到  $F_{-}\{j-1/2\}$ 
103     Fh_n[j] = np.sum(omega_n * Fh_n_c, axis=0)
104
105     # 计算通量导数
106     xs_new = xs + 1 # 3
107     xt_new = xt - 1 # N-4
108
109     for j in range(xs_new, xt_new + 1):
110         Fx_p[j] = (Fh_p[j] - Fh_p[j - 1]) / dx
111         Fx_n[j] = (Fh_n[j + 1] - Fh_n[j]) / dx
112         Fx[j] = Fx_p[j] + Fx_n[j]
113
114     elif flag_scs_ttyp == 3:
115         # 群速度控制格式
116         # 参数设置
117         xs = 1 # 起始索引
118         xt = N - 2 # 结束索引
119         em = 1e-5 # 小量防止除零
120

```

```

121     # 群速度控制参数
122     beta = 0.8 # 群速度控制因子
123     gamma = 0.3 # 高阶修正系数
124
125     for j in range(xs, xt):
126         # 计算通量梯度比
127         # 正通量部分
128         r_p_num = F_p[j] - F_p[j - 1]
129         r_p_den = F_p[j + 1] - F_p[j] + em
130         r_p = r_p_num / r_p_den
131
132         # 负通量部分
133         r_n_num = F_n[j + 2] - F_n[j + 1]
134         r_n_den = F_n[j + 1] - F_n[j] + em
135         r_n = r_n_num / r_n_den
136
137         # 群速度控制限制器函数
138         # 正通量限制器
139         Phi_p = (r_p + beta * np.abs(r_p)) / (1 +
140             beta * r_p + gamma * r_p ** 2)
141         # 负通量限制器
142         Phi_n = (r_n + beta * np.abs(r_n)) / (1 +
143             beta * r_n + gamma * r_n ** 2)
144
145         # 计算半网格点通量（含群速度控制）
146         Fh_p[j] = F_p[j] + 0.5 * Phi_p * (F_p[j +
147             1] - F_p[j])
148         Fh_n[j] = F_n[j + 1] - 0.5 * Phi_n * (F_n[j
149             + 1] - F_n[j])
150
151     # 更新索引范围
152     xs_new = xs + 1
153     xt_new = xt

```

```

150
151     # 计算通量导数
152     for j in range(xs_new, xt_new):
153         Fx_p[j] = (Fh_p[j] - Fh_p[j - 1]) / dx
154         Fx_n[j] = (Fh_n[j] - Fh_n[j - 1]) / dx
155         Fx[j] = Fx_p[j] + Fx_n[j]
156     return xs_new, xt_new, Fh_p, Fh_n, Fx, Fx_p, Fx_n

```

Listing 5: 激波捕捉格式实现

根据不同 `flag_scs_typ` 参数, 通量矢量分裂法的三种实现如下:

1. **TVD (flag\_scs\_typ=1)**

TVD 格式采用 Van Leer 限制器, 具体实现过程如下:

- 设定起始索引  $xs = 1$ , 结束索引  $xt = N - 2$ , 小量  $\varepsilon = 10^{-5}$  防止除零
- 对每个  $j$  在  $[xs, xt)$  区间

1. 计算正通量梯度比:  $r_p = \frac{F_p[j] - F_p[j - 1]}{F_p[j + 1] - F_p[j] + \varepsilon}$
2. 计算负通量梯度比:  $r_n = \frac{F_n[j + 2] - F_n[j + 1]}{F_n[j + 1] - F_n[j] + \varepsilon}$
3. 计算 Van Leer 限制器:  $\Phi_p = \frac{r_p + |r_p|}{1 + r_p}$ ,  $\Phi_n = \frac{r_n + |r_n|}{1 + r_n}$
4. 半网格点通量重构:

$$Fh_p[j] = F_p[j] + 0.5 \Phi_p (F_p[j + 1] - F_p[j])$$

$$Fh_n[j] = F_n[j + 1] - 0.5 \Phi_n (F_n[j + 1] - F_n[j])$$

- 更新索引范围  $xs_{new} = xs + 1$ ,  $xt_{new} = xt$ , 计算通量导数:

$$Fx_p[j] = \frac{Fh_p[j] - Fh_p[j - 1]}{dx}$$

$$Fx_n[j] = \frac{Fh_n[j] - Fh_n[j - 1]}{dx}$$

$$Fx[j] = Fx_p[j] + Fx_n[j]$$



该实现保证了激波捕捉时的无振荡性和高分辨率

## 2. 五阶 WENO (flag\_scs\_typ=2)

五阶 WENO 格式实现过程如下：

设常数  $C = [1/10, 6/10, 3/10]$ ，幂指数  $p = 2$ ，小量  $\varepsilon = 10^{-6}$ ，起始索引  $xs = 2$ ，结束索引  $xt = N - 3$

对于每个  $j$  在  $[xs, xt]$  区间：

正通量部分 ( $a > 0$ ):

计算三个光滑指示器

$$\begin{aligned}\beta_1 &= \frac{1}{4}(F_p[j-2] - 4F_p[j-1] + 3F_p[j])^2 + \frac{13}{12}(F_p[j-2] - 2F_p[j-1] + F_p[j])^2 \\ \beta_2 &= \frac{1}{4}(F_p[j-1] - F_p[j+1])^2 + \frac{13}{12}(F_p[j-1] - 2F_p[j] + F_p[j+1])^2 \\ \beta_3 &= \frac{1}{4}(3F_p[j] - 4F_p[j+1] + F_p[j+2])^2 + \frac{13}{12}(F_p[j] - 2F_p[j+1] + F_p[j+2])^2\end{aligned}$$

计算  $\alpha_k = C_k/(\varepsilon + \beta_k)^p$ ，归一化得权重  $\omega_k = \alpha_k / \sum \alpha_k$

计算三个模板的通量值

$$\begin{aligned}F_{j+1/2}^{(1)} &= \frac{1}{3}F_p[j-2] - \frac{7}{6}F_p[j-1] + \frac{11}{6}F_p[j] \\ F_{j+1/2}^{(2)} &= -\frac{1}{6}F_p[j-1] + \frac{5}{6}F_p[j] + \frac{1}{3}F_p[j+1] \\ F_{j+1/2}^{(3)} &= \frac{1}{3}F_p[j] + \frac{5}{6}F_p[j+1] - \frac{1}{6}F_p[j+2]\end{aligned}$$

加权组合  $Fh_p[j] = \omega_1 F_{j+1/2}^{(1)} + \omega_2 F_{j+1/2}^{(2)} + \omega_3 F_{j+1/2}^{(3)}$

负通量部分 ( $a < 0$ ):

计算三个光滑指示器

$$\begin{aligned}\beta_1 &= \frac{1}{4}(F_n[j+2] - 4F_n[j+1] + 3F_n[j])^2 + \frac{13}{12}(F_n[j+2] - 2F_n[j+1] + F_n[j])^2 \\ \beta_2 &= \frac{1}{4}(F_n[j+1] - F_n[j-1])^2 + \frac{13}{12}(F_n[j+1] - 2F_n[j] + F_n[j-1])^2 \\ \beta_3 &= \frac{1}{4}(3F_n[j] - 4F_n[j-1] + F_n[j-2])^2 + \frac{13}{12}(F_n[j] - 2F_n[j-1] + F_n[j-2])^2\end{aligned}$$

计算  $\alpha_k$  和归一化权重  $\omega_k$ ，同上

计算三个模板的通量值

$$\begin{aligned} F_{j-1/2}^{(1)} &= \frac{1}{3}F_n[j+2] - \frac{7}{6}F_n[j+1] + \frac{11}{6}F_n[j] \\ F_{j-1/2}^{(2)} &= -\frac{1}{6}F_n[j+1] + \frac{5}{6}F_n[j] + \frac{1}{3}F_n[j-1] \\ F_{j-1/2}^{(3)} &= \frac{1}{3}F_n[j] + \frac{5}{6}F_n[j-1] - \frac{1}{6}F_n[j-2] \end{aligned}$$

加权组合  $Fh_n[j] = \omega_1 F_{j-1/2}^{(1)} + \omega_2 F_{j-1/2}^{(2)} + \omega_3 F_{j-1/2}^{(3)}$

计算通量导数,  $xs_{new} = xs + 1$ ,  $xt_{new} = xt - 1$ , 对  $j$  在  $[xs_{new}, xt_{new}]$ :

$$\begin{aligned} Fx_p[j] &= \frac{Fh_p[j] - Fh_p[j-1]}{dx} \\ Fx_n[j] &= \frac{Fh_n[j+1] - Fh_n[j]}{dx} \\ Fx[j] &= Fx_p[j] + Fx_n[j] \end{aligned}$$

该实现保证了高阶精度和无振荡性, 适用于激波和间断捕捉的高分辨率数值模拟。

### 3. 群速度控制 GVC (flag\_scs\_typ=3)

## 4 结果分析

## 5 AI 工具使用说明表

AI 名称	生成代码功能	使用内容
Copilot	latex 格式框架	figure 参数调整、图片插入
Deepseek	python 绘图调整	68-90 行图绘制的具体参数调整
Deepseek	gitignore 文件忽略	全由 ai 添加

## 6 commit 信息

commit 图如下：